

ناپایداری ساختارهای ساقه - حلقه در جلوگیری از بیان ژنهای مسئول مقاومت در برابر

آلودگیهای ویروسی در توتونهای تراریخت

فرشاد رخشنده رو^{۱،۲*}، پیتر پالوکایتس^۲ و مسعود شمس بخش^۳

۱ تهران، دانشگاه آزاد اسلامی واحد علوم و تحقیقات، دانشکده کشاورزی و منابع طبیعی، گروه بیماری شناسی گیاهی

۲ اسکاتلندر، اینورگوری، بخش تحقیقات ویروس شناسی مرکز تحقیقات زراعی

۳ تهران، دانشگاه تربیت مدرس، دانشکده کشاورزی، گروه بیماری شناسی گیاهی

تاریخ پذیرش: ۸۸/۷/۱۹ تاریخ دریافت: ۹۰/۹/۱

چکیده

بیان ساختارهای ساقه - حلقه در گیاهان تراریخت موجب تحریک چرخه خاموشی ژن با استفاده از مولکولهای dsRNA دارای مشابهت در توالی با mRNA موجود در گیاه می‌شود. در این پژوهش با استفاده از گیاهان توتون تراریخت (N. tabacum cv. Samsun, NN) که ژن RDR1 (RNA-Directed-RNA Polymerase-1) آنها توسط ساختارهای ساقه - حلقه دارای مشابهت ژنتیکی با ژن RDR1 با اندازه‌های متفاوتی خاموش شده بود میزان پایداری خاموشی ژن بررسی شد. به منظور بررسی پایداری خاموشی ژن، میزان حساسیت به آلودگی سیستمیک ویروس PVY^o (Potato virus Y strain o) و نیز میزان بیان ژن RDR1 بررسی شد. توسط آزمون RT-PCR نیمه کمی (semi-quantitative RT-CR) میزان بیان ژنهای دخیل در مقاومت گیاهان به آلدگیهای ویروسی شامل ژنهای IVR، AOXI و نیز RDR6 یک هفته پس از مایه زنی نسلهای دوم (T2) و سوم (T3) توتونهای تراریخت که ژن RDR1 در آنها خاموش شده بود با ویروس PVY^o بررسی شد. نتایج این تحقیق نشان داد نسل دوم توتونهای تراریخت نسبت به نسل بعدی از میزان بیان کمتر ژن RDR1 و سایر ژنهای دخیل در مقاومت برخوردار می‌باشد. همچنین لینهای نسل دوم (T2) توتونهای تراریخت در مقایسه با نسل سوم (T3) از حساسیت بیشتر به ویروس PVY^o برخوردار بوده و میزان بیان ژن RDR1 در نسل سوم معادل با توتون غیر تراریخت بود. نتایج نشان داد کارآیی ساختار ساقه - حلقه در خاموشی ژن RDR1 در نسل بعد کاهش یافته است. از آنجایی که ژن RDR6 تحت تأثیر ژن RDR1 بوده و برای انتقال پیام خاموشی در طول گیاه و افزایش مقاومت گیاهان به آلودگی ویروسی لازم می‌باشد، پیشنهاد می‌کنیم که سرکوب ژن RDR1 در توتونهای تراریخت موجب جلوگیری از بیان ژن RDR6 و در نهایت موجب کاهش انتقال عمودی ساختارهای ساقه - حلقه خاموش کننده به نسل بعد شده است.

واژه‌های کلیدی: خاموشی RNA، ساختمان ساقه - حلقه، RDR1، PVY^o

* نویسنده مسئول، تلفن: ۰۹۱۲۴۷۸۶۶۸۷، پست الکترونیکی: rakhshandehroo_fa@srbiau.ac.ir

مقدمه

موجودات یوکاریوتیک و همچنین، هنگام مواجه با قطعات نوکلئوتیدی خارجی ویروسها و ترانسپوزون‌ها، در جهت ایجاد مقاومت در سلولهای موجودات فعال می‌شود (۲ و ۳). این فرآیند بیوشیمیایی با حضور قطعات نوکلئوتیدی از

خاموشی RNA (RNA Silencing) پدیده ایست ژنتیکی که در طی آن تنظیم بیان ژنهای از طریق توالی ویژه‌ای از RNA، غیر از mRNA، tRNA و یا rRNA، در سلول صورت می‌پذیرد (۱). خاموشی جهت تنظیم بیان ژنهای

هدف می‌شود (۸). از این طریق می‌توان قطعه‌ای به طول ۵۰ جفت باز یا بیشتر که از لحاظ ژنتیکی با ژن هدف مشابه باشد را جهت خاموش نمودن ژن مذکور در گیاهان مورد بررسی بیان نمود. هم اکنون محصولات تاریخته شده با استفاده از مکانیسم خاموشی RNA تولید شده و بصورت تجاری تنها در استرالیا مورد استفاده قرار می‌گیرند و در آنها برای خاموش نمودن ژن هدف از ناقلهای بیان کننده ساختارهای ژنتیکی ساقه - حلقه استفاده می‌شود (۱ و ۱۶). در این پژوهش برای بررسی عملکرد ژن *RDR1* در ایجاد مقاومت توتون به آلدگی ویروس Y سیب زمینی (*PVY*) از لاین های توتون سامسون تاریخته ای استفاده شد که با نسبتی متفاوتی در مقایسه با گیاه توتون غیر تاریخت *RDR1* mRNA ژن *RDR1* قسمتی از ژن مذکور با استفاده از ناقل RNAi mRNA در آنها کاهش پیدا کرده بود. برای کاهش میزان *RDR1* در ساختار ساقه و حلقه و بصورت dsRNA در سلول توتونهای تاریخت بیان می‌شد که موجب فعال شدن فرآیند خاموشی ژن بر علیه ژن *RDR1* و هضم آنزیمی ژن مذکور در توتونهای تاریخت می‌شد. لاین های مورد بررسی از این ویژگی برخوردار بودند که مربوط به نسلهای مختلف دوم و سوم بودند. همچنین با مقایسه میزان مقاومت به آلدگی ویروسی در نسلهای مختلف توتونهای تاریخته، پایداری انتقال و حفظ ویژگی ساختارهای ساقه - حلقه خاموش کننده ژن *RDR1* در نسلهای مختلف مورد ارزیابی قرار گرفت. نتایج تحقیقی که به تازگی انجام پذیرفت نشان داد که ژن *RDR1* در افزایش دفاع فوق حساسیت در برابر آلدگیهای ویروسی علاوه بر دفاع از طریق فرآیند خاموشی ژن نقش دارد (۱۳ و ۲۱). از این رو در این پژوهش از ویروس TMV که در توتون سامسون غیر تاریخت پاسخ فوق حساسیت را ایجاد می‌نمود استفاده شد تا علاوه بر بررسی تأثیر بیان ژن *RDR1* در تولید نسخه‌های mRNA مربوط به مهم ترین ژنهای مقاومت درگیر در پاسخ فوق حساسیت در کنار

نوع RNA دو رشته‌ای (dsRNA) با توالی مشابه با قسمتی از ژنوم گیاه یا جانور میزبان صورت می‌پذیرد (۱). در نتیجه برش این توالیهای مهاجم با آنزیم ریبونوکلئاز نوع ۳ ۲۱-۲۴ RNA به طول قطعات کوچک (Dicer like) یک دفع ژنتیکی نوکلئوتید ایجاد می‌شود و از این طریق یک سیتوپلاسم سلول اتفاق بیافتد. در حالت دوم آن را [Post transcriptional Gene Silencing (PTGS)] خاموشی ژن پس از نسخه برداری [RNA Directed RNA polymerase] مختلفی از جمله RNA پلیمراز وابسته به [RDRs] در این مسیر شرکت می‌کنند. این آنزیم با تکثیر RNA های تک رشته ای و تبدیل آن به فرم دو رشته ای (dsRNA)، در تکثیر سیگنال هدف و فعالیت بیشتر اجزای خاموشی RNA نقش بسیار مهمی را عهده دار می‌باشد (۲۷). تا کنون ۶ نوع آنزیم RDR در سلولهای گونه های مختلف گیاه مدل آرابیدوپسیس (Arabidopsis sp.) (Waterhouse) شناخته شده است که نوع اول آن با نام مخفف *RDR1*، آنزیمی کلیدی در فرآیند PTGS بوده و در ایجاد مقاومت پایه (Basal-defense) در یوکاریوت ها، در برابر آلدگیهای پاتوژنیک نقش دارد (۹). واترهوس هرگاه ردیفهای نوکلئوتیدی دارای مشابهت با توالی ژنتیکی هدف در ساقه ساختار ساقه - حلقه در سلول گیاهان به فرم RNA دولا بیان شوند این توالیها می‌توانند موجب خاموشی ژن هدف در گیاه شوند (۲۸). بر این مبنای محققین تا کنون دستورالعملهای متفاوتی را برای ساخت ناقلهای استاندارد خاموشی ژن ارائه کرده اند که ناقل pHANNIBAL از جمله آنهاست (۱۰ و ۲۰). ویژگی این ناقلهای آن است که توالی ژن مورد بررسی که باید خاموش شود را بصورت توالی تکراری معکوس به فرم RNA دولا در سیستم تاریخته بیان می‌نمایند. توالی سنتز شده RNA دو لا (dsRNA) در ساقه موجب خاموش شدن کامل ژن

Kerschen و همکاران وارد شدند (۸). ناقل دوتایی pFGC5941 (GenBank Accession No. AY310901) از ۱۱۴۰۶ جفت باز تشكیل شده و دارای ایترون ژن ستر کالکون A (ChsA) و دو جایگاه ورود برای وارد کردن توالیهای مکمل معکوس از ژن مورد بررسی بود (شکل ۱). از ناقل ذکر شده برای تولید قطعه‌های dsRNA به فرم ساقه و حلقه از ژن *RDR1* به منظور کاهش میزان بیان آن در توتونهای تاریخت استفاده شد (جدول ۲). برای *tabacum* cv Samsun, NN LBA4404 از *Nicotiana* از باکتری آگروباکتریوم (*Agrobacterium tumefaciens*, توالی مکمل معکوس از ژن *RDR1* توتون استفاده شد. باکتری آگروباکتریوم با استفاده از روش تزریق زیر پوستی با Bent و Clough به گیاهان توتون تزریق شد (۶). انتظار می‌رفت که به دلیل حضور تعداد نسخه‌های زیاد از ساختارهای ساقه-حلقه خاموش کننده ژن *RDR1* در لاین های R-5-1 و R-5-1-1 بیان ژن *RDR1* در آنها نسبت به گیاه غیر تاریخت بسیار کمتر باشد. لاین های R-14-1 و R-14-1-1 تعداد نسخه‌های خاموش کننده ژن *RDR1* کمتری را نسبت به لاین های R-5-1 و R-5-1-1 دریافت کرده بودند. به منظور تهیه cDNA از توالی *RDR1* توتون Xanthai از جفت آغازگرهای اختصاصی برای تکثیر دو ناحیه از ژن *RDR1* استفاده شد (جدول ۱).

آزمونهای ارزیابی حساسیت توتونهای تاریخت به الودگی ویروسی: جهت بررسی میزان حساسیت در لاین های تاریخت توتون، بینهای ژنهای دخیل در مقاومت شامل *IVR*, *RDR1*, *RDR6*, *ERF5*, *AOX1*, *mRNA* بر روی نپتوئین پوششی ویروس PVY از آغازگرهای اختصاصی استفاده شد (جدول ۳). آغازگرهای با استفاده از نرم افزار Molecular biology, Insights, Inc, Oligo6 (U.S.A) طراحی شدند. بررسی میزان بیان ژنها حضور نسخه‌های mRNA برای هر ژن با استفاده از آزمون RT-

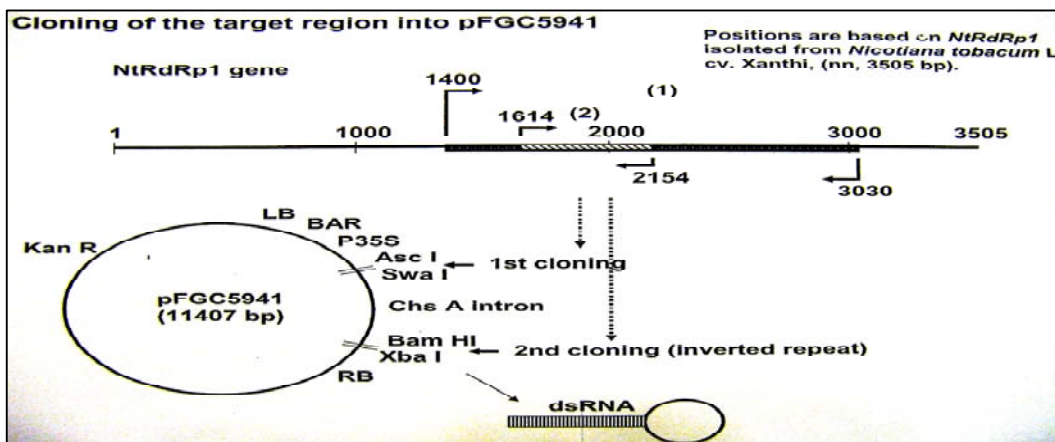
ژنهای مسئول فرآیند خاموشی ژن امکان پایداری تأثیر احتمالی آن در نسلهای مختلف در توتونهای تاریخت نیز بررسی شود.

مواد و روشها

منابع گیاهی و ویروسی و روش آلوهه سازی: در این پژوهش از کلنیهای بیماریزا (Infectious clone) نژاد O Potato virus Y strain O (PVY^O) ویروس Y سیب زمینی (PVY) برای مایه زنی مورد استفاده قرار گرفت. همچنین از کلنیهای بیماریزا استرین U1 ویروس موzaïk توتون *Tobacco mosaic virus* (TMV) که در توتون *N. tabacum* cv. NN (۷) ایجاد لکه موضعی و پاسخ فوق حساسیت می‌نمود نیز برای ارزیابی و مقایسه میزان بیان ژنها استفاده شد. عوامل ویروسی مذکور توسط بخش ویروس شناسی گیاهی مرکز تحقیقات زراعی اسکاتلندر (SCRI) در اختیار این تحقیق قرار گرفت. مایه زنی مکانیکی با استفاده از بافر فسفات پتاسیم ۰/۱ مولار با pH= ۷.۵ انجام شد. برای این منظور به میزان ۰/۵ گرم بافت پهنهک برگ در ۴ میلی لیتر از بافر مخصوص مایه زنی در هاون چینی سرد، خرد و یکتواخت شد. مایه زنی در مرحله ۴ برگی توتونهای تاریخت و غیر تاریخت سامسون انجام شد. نمونه برداریها از برگهای فوقانی و یک هفته پس از مایه زنی، صورت پذیرفت. در این تحقیق از لاین های متفاوت توتون *N. tabacum* cv Samsun ژن مقاومت N استفاده شد. برای بررسی نقش ژن *RDR1* در مقاومت در برابر ویروس Y سیب زمینی از ۴ رقم مختلف توتون سامسون *N. tabacum* cv Samsun, NN استفاده شد (جدول ۲).

چگونگی تهیه کاستهای ژنی: در این بررسی از همسانه های ژن *RDR1* توتون *N. tabacum* cv Xanthi nn به اندازه های ۱۶۳۰ و ۵۴۲ جفت باز استفاده شد (جدول ۱). همسانه های مذکور در ناقل دوتایی (Binary vector)، pFGC5941(Chrom DB. U.S.A) مطابق روش

PCR نیمه کمی مطابق روش مارون و همکاران در ۳ تکرار و در هر تکرار با ۳ تکرار برای هر نمونه گیاهی انجام شد.



شکل ۱- ساختار ناقل RNAi (pFGC5941) و روش تغییر ساختار ناقل برای بیان قسمتی از ژن *RDR1* توتون *Nicotiana tabaccum* cv Xanthi nn. بصورت ساختمان ساقه - حلقه. مشخصات ژن *RDR1* توتون *Nicotiana tabaccum* cv Xanthi nn و کاست ژنی مورد استفاده برای ایجاد خاموشی ژن *RDR1* در سلول لاین های تاریخت *Nicotiana tabaccum* cv Samsun, NN در شکل مشخص شده است. در جایگاههای تکثیر (1) توالی به طول ۱۶۳۰ جفت باز در حد فاصل بین توالی ۲۰۳۰ - ۱۴۰۰ و (2) توالی به طول ۵۴۰ جفت باز در حد فاصل بین توالیهای ۲۱۵۵ - ۱۶۱۴ از ژن *RDR1* در ناقل *RDR1* وارد شدند.

جدول ۱- مشخصات آغازگرها و جایگاههای برشی برای همسانه سازی قطعات مربوط به ژن *RDR1* (a) باندازه ۱۶۳۱ جفت باز در حد فاصل بین نوکلئوتیدهای های ۳۰۳ و ۱۴۰ و (b) باندازه ۵۴۲ جفت باز جفت باز در حد فاصل بین نوکلئوتیدهای های ۲۱۵۴ و ۱۶۱۴ از طول ژن که برای تکثیر در درون ناقل pFGC5941 مورد استفاده قرار گرفت. مکان برش توسط آنزیم در پایین هر توالی آغازگر مشخص شده است.

نام لاین های مورد ارزیابی	R-14-1	R-5-1	R-14-1-1	R-5-1-1
ویژگی لاین های مورد ارزیابی	نسل دوم	نسل دوم	نسل سوم	نسل سوم
تعداد نسخه های ساختار ساقه و حلقه وارد شده در لاین توتون مورد ارزیابی	۳۰ نسخه خاموش	۳۰ تا ۵ نسخه خاموش	۲ تا ۵ نسخه خاموش	۲۰ تا ۵۰ نسخه
Nicotiana tabacum cv Samsun, NN	RDR1- ژن	RDR1	کننده ژن	کننده ژن

جدول ۲- خصوصیات لاین های توتون مورد ارزیابی. در این تحقیق از لاین های متفاوت توتون *Nicotiana tabaccum* cv Samsun, NN استفاده شد که بیان ژن *RDR1* در آنها توسط سازه های ژنی دارای توالی ژنی مشابه با فرم ساقه - حلقه، با درجات مختلف کاهش یافته بود. برخی از لاین ها مربوط به نسل دوم و برخی دیگر متعلق به نسل سوم بودند.

اندازه تولیدات (bp)	جهت توسعه	نام ژن	آغازگر	توالی آغازگر
1631	Sense	RDR1-1 ^a	5'-AA <u>GAAATT</u> CGCATCAAGACCTGGCCTTAC-3' <i>Eco RI</i>	
542	Antisense	RDR1-2 ^a	5'-AAA <u>AGCGGCCG</u> CCACTAAGTATTCAGCCTCAG-3' <i>Not I</i>	
	Sense	RDR1-3 ^b	5'-AA <u>ATCTAGA</u> GGCGGCCAAATATCTGCTGACTTTG-3' <i>Xba I</i>	
	Antisense	RDR1-4 ^b	5'-AAA <u>AGGATCC</u> ATTTAAATCTGGATTCAAGCAT-3' <i>Bam HI</i>	

-Tubulin ۳۵ و ۴۰ چرخه تکثیر شدند. همچنین از ژنهای *Myb* و *β* به عنوان کنترل داخلی و برای نرمال سازی بیان ژنهای برای این آزمون استفاده شد.

آزمون Si-Blotting (Small RNA-Blotting) روش تغییر یافته interfering RNA-Blotting است و از آن برای ردیابی قطعات RNA با اندازه Blot های کوچک کمتر از ۳۰ نوکلئوتید مطابق روش کانتو و همکاران استفاده شد (۵). تکنیک مذکور مطابق روش ونی تارانی و همکاران انجام پذیرفت (۲۶). برای انجام این آزمون ابتدا RNA تام از برگ توتونهای مورد ارزیابی استخراج شد. ابتدا میزان ۳ گرم از بافت برگ در ۴ میلی لیتر بافر کلرید لیتیم (۱/۰ مولار LiCl) و ۰/۱ مولار Tris-HCl با اسیدیته ۸ درصد با اسیدیته ۸ میلی لیتر PVP-24000 و ۰/۰۱ مولار EDTA با اسیدیته ۸ میلی SDS و ۰/۲ درصد ماده Na₂SO₃. مخلوط فنل-کلروفرم-ایزو آمیل الكل به نسبت (۱-۲۴-۲۵) به طور کامل ادغام شد. مخلوط واکنش در دمای اتفاق برای مدت ۱ ساعت با چرخش ۱۰۰۰ دور در دقیقه سانتریفیوژ شد. رونشین به دست آمده با ۴/۵ میلی لیتر لیتیم کلراید ۴ مولار و ۵۰۰ ماکرولیتر استات پتاسیم ۳ مولار با اسیدیته ۸ ترکیب شد و برای مدت ۳ ساعت در دمای ۲۰-۲۰ درجه سانتی گراد قرار داده شد. سپس مخلوط واکنش در دمای ۴ درجه سانتی گراد برای مدت ۳۰ دقیقه با چرخش ۱۰۰۰ دور در دقیقه سانتریفیوژ شد. رسوب حاصل با اتانل ۷۰ درصد شستشو داده شد و در ۵۰۰ ماکرولیتر آب مقطر استریل دوبار تقطیر شده حل شد. RNA کل استخراج شده روی ژل پلی آکریل آماید ۲۰ درصد در بافر TBE با ولتاژ ۲۸۰ میلی آمپر الکتروفوروز شد. ژلهای در محلول اتیدیم بروماید جهت بررسی RNA کیفیت RNA استخراج شده رنگ آمیزی شدند. موجود در ژل پلی آکریل آماید توسط دستگاه Trans-Blot® Electrophoretic Transfer Cell (Bio-Rad, U.S.A) پس از یک ساعت با شدت جریان ۱۰۰ ولت به غشای نیتروسلولزی انتقال پیدا کرد. غشاء پس از

RNA کل بافت توتونهای تاریخت و غیر تاریخت در حالت سالم و یا یک هفته پس از مایه زنی با ویروس PVY⁰ و همزمان با بروز عالیم موزاییک سیستمیک از برگها استخراج شد. برای این منظور از RNeasy Plant Mini RNA استخراج kit (Qiagen, USA) استفاده شد. غلظت RNA استخراج شده با دستگاه اسپکتروفوتومتر سنجش شد. با استفاده از آنزیم نسخه بردار معکوس (RT) و آغازگر Oligo dT (Promega, Wisconsin, USA) مطابق دستورالعمل شرکت (Promega, Wisconsin, USA) برای ساخت cDNA تک رشته ای اقدام شد. به این ترتیب که به ازای ۱۰ نانوگرم از RNA استخراج شده از ۵۰ پیکومول Oligo dT استفاده شد و با آب DEPC حجم محلول واکنش به ۷ میکرولیتر رسید. محلول ۱۰ دقیقه در دمای ۶۵ درجه سانتی گراد قرار گرفت. پس از زمان مذکور محلول به سرعت بر روی یخ سرد شد. سپس محلول زیر (۱mM dNTP)، ۴ μl بافر (5X)، (10 μM) dTT (1U)، آنزیم M-MuLV (RT) نوع ، تهیه شد و حجم نهایی با آب DEPC به ۱۰ میکرولیتر رسید. محلول فوق به مدت ۶۰ دقیقه در دمای ۴۲ درجه سانتی گراد و ۱۰ دقیقه در ۸۰ درجه سانتی گراد قرار گرفت. پس از ساخت cDNA تک رشته ای، از آن به عنوان الگو برای PCR ساخت cDNA دو رشته ای و تکثیر آنها توسط استفاده شد. آزمون RT-PCR نیمه کمی با حضور ۱ میکرولیتر از cDNA سنتز شده در حجم ۲۴ میکرولیتر از واکنشگرهای شامل (۲ میلی مولار MgCl₂، ۰/۴ میلی مولار Taq DNA polymerase، ۰/۶ ۴dNTP-Mix واحد آنزیم ۰/۴ میکرومولار از آغازگرهای، ۵ میکرولیتر PCR Buffer (10X) و تا حجم ۲۴ میکرولیتر آب مقطر استریل در دستگاه ترموسایکلر انجام شد. نمونه های با واکنش حرارتی (۲ دقیقه و اسرشت سازی اولیه در ۱ دقیقه در ۹۴ درجه سانتی گراد، ۳۰ ثانیه در ۵۴ درجه سانتی گراد، ۴۰ ثانیه در ۷۲ درجه سانتی گراد و بسط ۱۰ دقیقه در ۷۲ درجه سانتی گراد) برای ۲۵، ۳۰،

RDRI در لاین‌های تاریخت متعلق به نسل دوم در مقایسه با شاهد تیپ وحشی غیر تاریخت کاهش پیدا کرده است (شکل‌های ۲ و ۳).

بیشترین میزان کاهش *RDRI* mRNA ژن در لاین R-5-1 با تعداد زیاد ساختارهای ساقه-حلقه خاموش کننده مشاهده شد (شکل ۲). کاهش میزان mRNA ژن *RDRI* در لاین‌های توتون تاریخت ۱-R-5 و ۱-R-14 سالم و آلوه به ویروس PVY^o مشاهده شد. با این وجود میزان بیان ژن مذکور تا یک هفته پس از مایه زنی توتونهای تاریخت و غیر تاریخت در مقایسه با توتونهای مایه زنی نشده افزایش نشان داد (شکل ۲). بیشترین میزان افزایش mRNA ژن *RDRI* در توتون غیر تاریخت تیپ وحشی تا ۳ روز پس از مایه زنی با ویروس TMV و همزمان با بروز پاسخ فوق حساسیت مشاهده شد (شکل‌های ۲ و ۳). همچنین ارزیابی میزان بیان ژن *RDRI* در توتون غیر تاریخت در حالت سالم و یک هفته بعد از مایه زنی با ویروس PVY^o و یا ۳ روز بعد از مایه زنی با ویروس TMV نشان داد ویروس PVY^o از توان بیشتری در افزایش بیان ژن *RDRI* برخوردار بوده است (شکل ۳). اگرچه در توتون غیر تاریخت در مقایسه با لاین‌های تاریخت تا یک هفته پس از مایه زنی با ویروس PVY^o میزان نسخه‌های mRNA بیشتری از ژن *RDRI* در سلول تجمع پیدا نمود (شکل ۲) با این وجود نتایج فوق برای لاین‌های توتون تاریخت ۱-R-14 و ۱-R-5-1 که متعلق به نسل سوم بودند مانند نتایج مشاهده شده برای نسل دوم نبود و برخلاف نسل دوم، میزان mRNA ژن *RDRI* در نسل سوم افزایش نشان داد (شکل ۳). همچنین نتایج آزمون RT-PCR ویروس PVY^o در لاین تاریخت (R-5-1) با میزان کم نشان داد بیشترین میزان تجمع پروتئین پوششی آزمون RT-PCR در لاین *RDRI* صورت پذیرفته است (شکل ۴). در این آزمون میزان بیان ژن پروتئین پوششی ویروس PVY^o در چرخه‌های ۲۵، ۳۰، ۳۵ و ۴۰ آزمون RT-PCR مورد

بلوکه شدن در محلول بلوکه کننده شامل (1X Roche (0.15M NaCl, 0.1 M Maleic acid, Blocking Reagent با کاوشگر اختصاصی برای قطعات *RDRI* RNA ژن *RDRI* ردیابی شد. برای این منظور از کاوشگر غیر رادیواکتیو Dioxygenin-Labbeled (Roche,Germany) استفاده شد. اتصال کاوشگر به RNA برای مدت یک شب در دمای ۴۱ درجه سانتی گراد و ردیابی تولیدات توسط-Anti-({1,2-dioxetane-dioxygenin 3,2'-chloro tricyclo [3.3.1.1^{3,7}] decan}-4-yl] phenylphosphate) انجام پذیرفت. برای تهیه کاوشگر از ناقل بیان کننده ژن (pLF103) استفاده شد. ناقل مذکور حاوی توالی ژن *RDRI* توتون Xanthi بود و پس از رونویسی توسط دو پرومتر T3 و T7 تولید پروب RNA برای انجام نوردن بلات می‌نمود. برای تهیه کاوشگر از توالی cDNA به طول ۵۴۰ جفت باز از ژن *RDRI* توتون Xanthi در حد فاصل بین توالیهای ۲۱۵۴-۲۱۶۴ استفاده شد (شکل ۱). در نهایت لاین‌های که برای ژن *RDRI* خاموش شده بودند باند پر رنگی را باندازه ۲۱-۲۴ نوکلئوتید نشان دادند. شدت باندها بیانگر میزان خاموش شدن و هضم آنزیمی ژن *RDRI* و تبدیل آن به قطعه‌های کوچک RNA در لاین‌ها بود.

نتایج

ارزیابی عملکرد کاسته‌های ژنی در توتونهای تاریخت: ارزیابی میزان بیان ژن *RDRI* در حالت سالم و یک هفته بعد از مایه زنی با ویروس PVY^o در توتونهای غیر تاریخت و نسلهای دوم و سوم توتونهای تاریخت (اشکال ۲ و ۳) با استفاده از RT-PCR نیمه کمی با ۲۵ تا ۴۰ چرخه PCR انجام پذیرفت. میزان بیان ژن *RDRI* در مقایسه با میزان بیان ژن کتترول داخلی β -Tubulin، ارزیابی شد. اندازه تولیدات حاصل از تکثیر ژنهای *RDRI* و β -Tubulin بر روی ژل آگارز ۲/۵ درصد مطابق با اندازه‌های اشاره شده در (جدول ۳) برای هر ژن بود. نتایج آزمون نشان داد میزان mRNA Semi-quantitative-RT-PCR

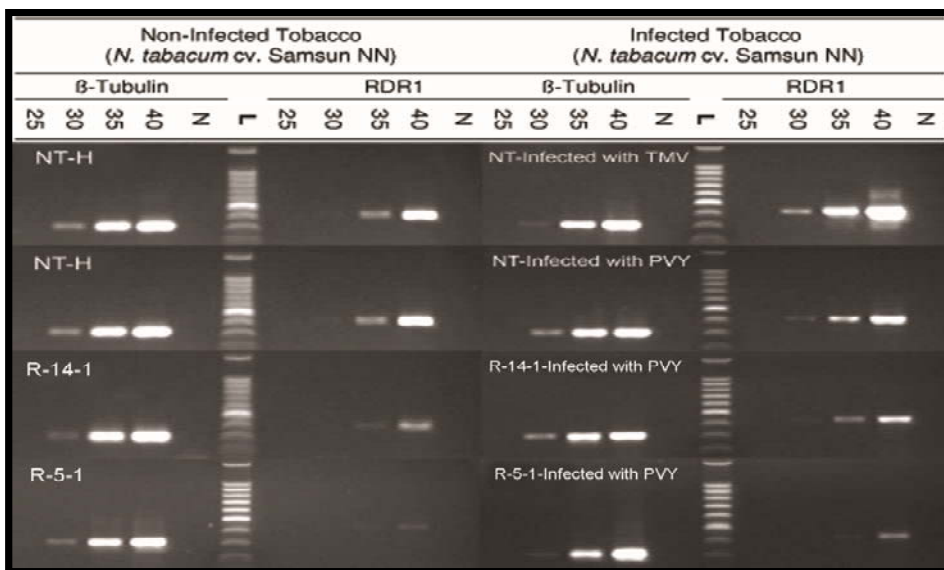
وحشی غیر تاریخت بیشتر حمایت نمودند که این امر بیانگر افزایش حساسیت به آلدگی ویروسی در اثر کاهش حضور ژن *RDR1* در لاین های تاریخت می باشد (شکل ۴). نتایج همچنین حاکی از آن بود که میزان توان تهاجمی ویروس PVY° در لاین های تاریخت ۱-۱-۱-۱-۵-۱-۱-۱-۱ متعلق به نسل سوم همزمان با افزایش میزان mRNA ژن *RDR1* افزایش پیدا کرده است (شکل ۴).

جدول ۳- مشخصات آغازگرها جهت تکثیر زنهای مقاومت در توتونهای تاریخی و غیر تاریخی. قطعه های حاصل از تکثیر زنها مربوط به جرخه های مختلف آزمون PCR روی ژل آگارز ۲/۵ درصد تفکیک شدند. برای هر زن از نمونه های کترل منفی و مثبت استفاده شده و تمام آزمونها با تکرار انجام شدند. برای کترل منفی از مخلوط واکنش بدون الگو (cDNA) استفاده شد. برای کترل مثبت از ناقل pTZ57 R/T (Fermentaz

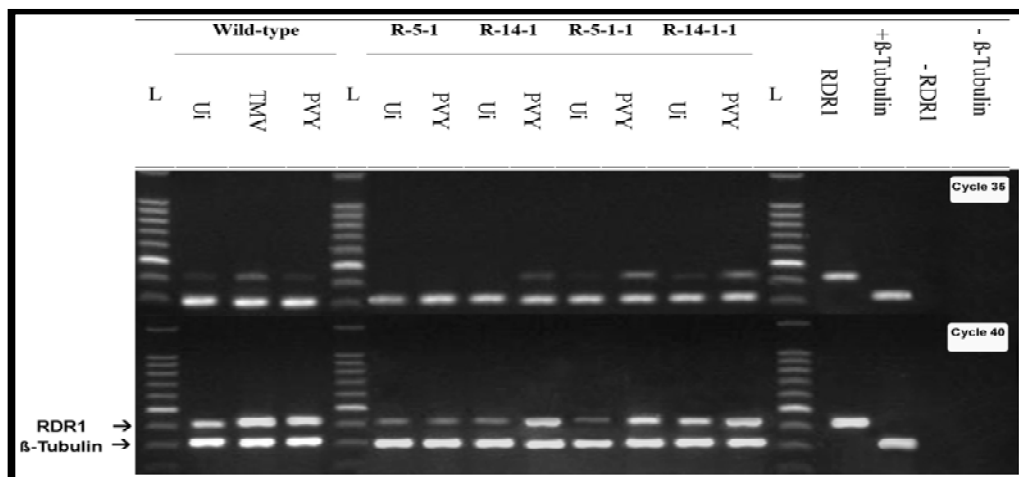
بررسی قرار گرفت. در لاین های توتون تاریخت با بیان کمتر ژن *RDR1* پروتئین پوششی ویروس PVY^o به میزان بیشتری در مقایسه با توتون غیر تاریخت بیان شد (شکل ۴). پروتئین پوششی محصول تکثیر شده مربوط به پروتئین PVY^o باند ۲۰۰ جفت بازی را در زل پوششی ویروس PVY^o تشکیل داد. لاین های تاریخت ۵-۱-۵-R و ۱-R-۱۴-۱، تجمع پروتئین پوششی ویروس PVY^o را در مقایسه با توتون تیپ

جدول -۳ مشخصات آغازگرها جهت تکثیر زنیهای مقاومت در توتونهای PCR مختلف آزمون روى ژل آگارز ۲/۵ درصد تفکیک شدند. بر تکرار انجام شدند. برای کترل منفی از مخلوط واکنش بدون الگو (NA) دارای هر یک از ژن Germany)

نام ژن	جهت توسعه آغازگر	توالی	اندازه تولیدات
RDR1	Foreward Primer	CAGGCTAGCTCCATCGCGAC	430bp
	Reverse Primer	CATACTAGTGGTCATAAACACA	
IVR	Foreward Primer	ATCGTTAACAAATCGACCTGAAGCTGCT	581bp
	Reverse Primer	ATGGGATCCTCATAAAAGCTCAGCCTCT	
ERF ₅	Foreward Primer	ATGTCAAGTAACTCAAGGCCA	780bp
	Reverse Primer	TCAGTCCCTTCGACACGAATG	
AOX1	Foreward Primer	GATGACACGTGGAGCGACAAGG	620bp
	Reverse Primer	CCACTCTGTTCGAACATGCCCTAAG	
β -tubulin	Foreward Primer	CTTGCATTGGTACACAGG	300bp
	Reverse Primer	CACTCTCCAGCATTCCATCC	
RDR6	Foreward Primer	TCCATGCCGAAGTACAGTGCT	350bp
	Reverase Primer	TCCATGCCGAAGTACAGTGCT	
Myb	Foreward Primer	CATTCCCAAAGTACCAAGAAG	330bp
	Reverase Primer	GGACTGGTGGTACCTGTGC	
Potato virus Y Coat Protein	Foreward Primer	ATGCCAACTGTGATGAAT	200bP
	Reverase Primer	ACTCGGCCCGAAGGTGACGCATTCT	



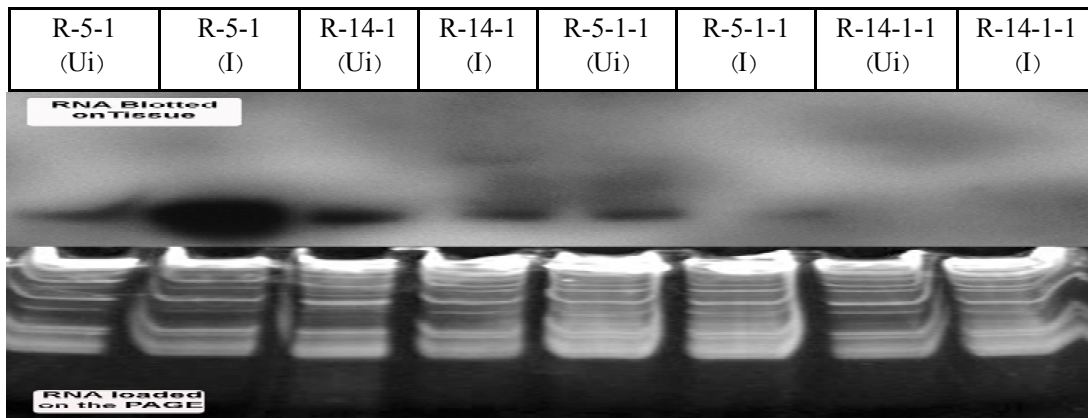
شکل ۲- الکتروفورز محصولات حاصل از تکثیر ژن *RDR1* لاین های توتون تاریخت R-14-1 و R-5-1 و توتون غیر تاریخت در ژل آگاروز ۲/۵ درصد . (L) مارکر وزن مولکولی ۱۰۰ جفت باز (Promega, USA). اعداد به ترتیب بیانگر چرخه ای از واکنش PCR می باشد که محصول تکثیر جمع آوری شده است. NT-H: توتون غیر تاریخت مایه زنی نشده. NT-PVY: توتون غیر تاریخت مایه زنی شده با ویروس PVY. NT-TMV: توتون غیر تاریخت مایه زنی شده با ویروس TMV. کترل منفی (به جای DNA از آب در مخلوط واکنش PCR استفاده شد).



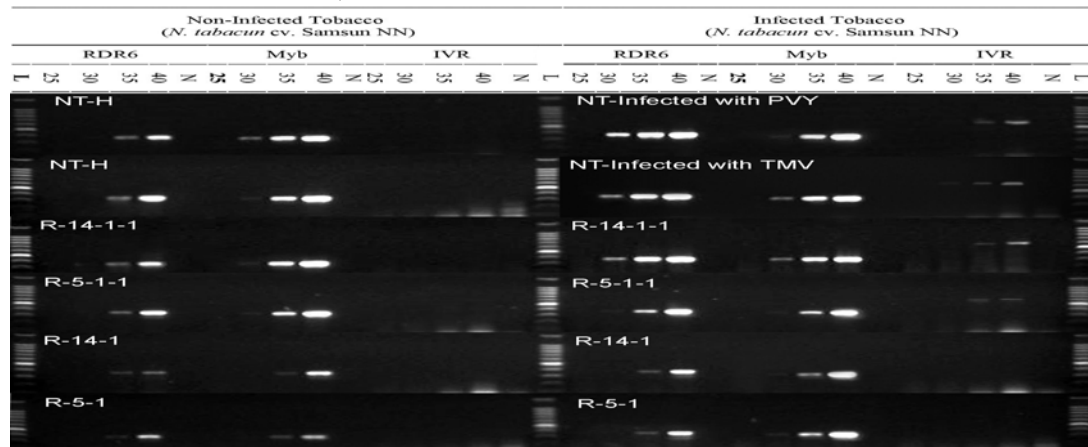
شکل ۳- الکتروفورز محصولات حاصل از تکثیر ژن *RDR1* در لاین های توتون تاریخت R-14-1, R-5-1, R-14-1-1, R-5-1-1 و غیر تاریخت. (L) مارکر وزن مولکولی ۱۰۰ جفت باز (Promega, USA) .Ui : نمونه سالم . PVY : نمونه های توتون غیر تاریخت و تاریخت مایه زنی شده با ویروس PVY . TMV : نمونه های توتون غیر تاریخت و تاریخت مایه زنی شده با ویروس TMV +. TMV - . β-Tubulin +. TMV - شاهد مثبت برای ژن مورد نظر. RDR1+ شاهد مثبت برای ژن مورد بررسی. RDR1- شاهد منفی برای ژن مورد بررسی. مورد نظر.



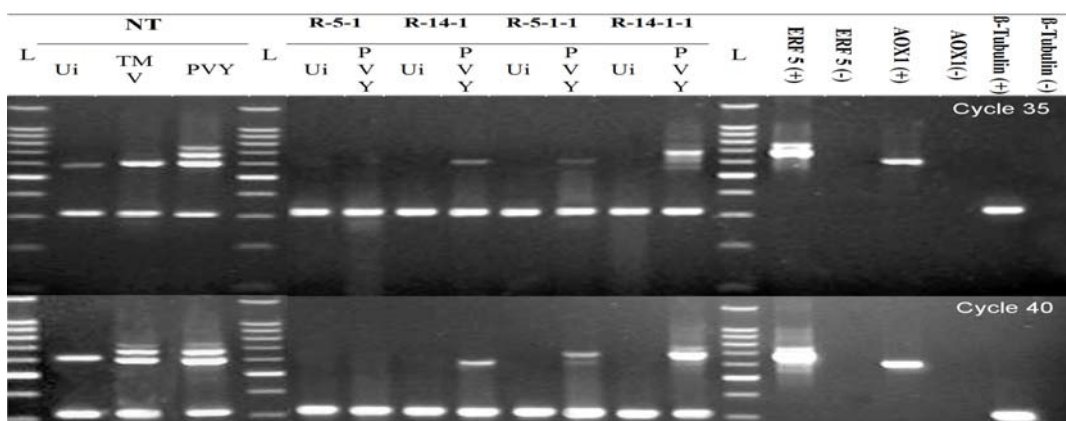
شکل ۴- الکتروفورز محصولات حاصل از تکثیر بخشی از ژن پروتئین پوششی ویروس (*Potato virus Y (PVY°)*) در لاین های توتون تراریخت R-14-1, R-5-1-1, R-14-1-1, R-5-1 و توتون غیر تراریخت. L: مارکر وزن مولکولی ۱۰۰ جفت باز (Promega, USA). N: نمونه مربوط به گیاه توتون غیر تراریخت سالم. NTRH: کنترل منفی (از آب به جای DNA الگو در نمونه کنترل منفی استفاده شد). NTRI: نمونه مربوط به گیاه توتون غیر تراریخت آلوده به ویروس PVY° نمونه مربوط به گیاه غیر تراریخت آلوده به ویروس PVY°



شکل ۵- الگوی باندی قطعات ۲۴ نوکلئوتیدی RNA نمونه های مختلف توتون پس از لکه گذاری و آشکارسازی توسط کاوشگر بر روی غشاء نیتروسلولزی. باند های تیره تر بیانگر خاموشی بیشتر ژن *RDR1* می باشد. Ui: نمونه سالم. I: نمونه آلوده به ویروس PVY



شکل ۶- الکتروفورز محصولات حاصل از تکثیر ژنهای *RDR6* و *IVR* در لاین های توتون تراریخت R-14-1-, R-5-1, R-14-1 و توتون غیر تراریخت. (L) مارکر وزن مولکولی ۱۰۰ جفت باز (Promega, USA). N: کنترل منفی (از آب به جای DNA در نمونه کنترل منفی استفاده شد). NT-H: نمونه مربوط به گیاه توتون غیر تراریخت سالم. NT-PVY: نمونه مربوط به گیاه غیر تراریخت آلوده به ویروس PVY°. اعداد به ترتیب بیانگر چرخه ای از واکنش PCR می باشد که محصول تکثیر جمع آوری شده است.



R-14-1-1, R-5-1, R-14-1 در لاین های توتون تاریخت **ERF5** و **AOX1** را حاصل از تکثیر ژنهای **ERF5** و **AOX1** دارند. **R-5-1-1** و **Tot** غیر تاریخت. (L) مارکر وزن مولکولی (Promega, USA). **Ui**: نمونه سالم تلقیح نشده. **PVY**: آلدود و مایه زنی شده با ویروس **PVY**. **Y**: شاهد مثبت برای ژن مورد بررسی. **V**: شاهد منفی برای ژن مورد بررسی. **+**: شاهد منفی برای ژن مورد نظر. **-**: شاهد مثبت برای ژن مورد نظر. **AOX1+**: شاهد منفی برای ژن مورد نظر. **AOX1-**: شاهد مثبت برای ژن مورد نظر. **NT**: توتون تیپ وحشی غیر تاریخت.

ارزیابی حساسیت توتونهای تاریخت به آلدگی ویروسی: بررسی نتایج کمی سنجی نسبی میزان رونوشتلهای mRNA مربوط به ژنهای دخیل در مقاومت پایه گیاهان به آلدگیهای ویروسی شامل *IVR*, *AOX1*, *RDR6* و *ERF5* در این پژوهش نشان داد که ژنهای مذکور به میزان زیادی در پاسخ فوق حساسیت تا ۳ روز پس از مایه زنی ویروس *TMV* در توتون سامسون غیر تاریخت دارای ژن مقاومت *N* بیان می شوند (شکل‌های ۶ و ۷). همچنین افزایش بیان ژنهای مذکور تا یک هفته بعد از مایه کوبی با ویروس *PVY* در لاین های توتون غیر تاریخت مورد آزمون نیز مشاهده شد. با این وجود بیان ژنهای دخیل در مقاومت بعد از مایه کوبی با ویروس *PVY* افزایش توتونهای غیر تاریخت بیشتر از ویروس *PVY* پیدا کرد. نتایج حاکی از آن بود که با افزایش حساسیت به آلدگی ویروسی *PVY* در لاین های توتون تاریخت دارای تعداد نسخه های کم ژن *RDR1*، میزان بیان ژنهای مقاومت در آنها نیز کاهش می یابد (شکل‌های ۶ و ۷). میزان نسخه های mRNA مربوط به ژنهای *IVR* و *RDR6* در حالت سالم و یک هفته بعد از مایه زنی با ویروس *PVY* در توتونهای تاریخت و غیر تاریخت و یا

نتایج آزمون si-Blotting نشان داد توتونهای تاریخت دارای قطعه های کوچک siRNA به اندازه ۲۴ تا ۲۲ نوکلئوتید می باشند (شکل ۵). به این معنی که در آنها خاموشی ژن اتفاق افتاده است. همچنین مشخص شد که نسل دوم لاین های تاریخت-1 *R-5-1* و *R-14-1* به میزان بیشتری نسبت به نسلهای بعدی آنها یعنی *R-5-1-1* و *R-14-1-1* خاموش شده اند (شکل ۵). همچنین نتایج این آزمون نشان داد لاین هایی که تعداد ساختارهای ساقه و حلقه خاموش کننده ژن *RDR1* بیشتری را دریافت داشته اند مانند *R-5-1* و *R-5-1-1*، باند مربوط به قطعات بسیار کوچک RNA (siRNA) برای آنها پر رنگ تراز لاین هایی می باشد که تعداد نسخه های ژنی خاموش کننده کمتری را دریافت داشته اند (*R-14-1* و *R-14-1-1*) (شکل ۵). مقایسه الگوی باندی نمونه آلدود به ویروس هر لاین با نمونه عاری از ویروس همان نمونه نشان داد که میزان siRNA بیشتری در تمام لاین ها پس از آلدگی به ویروس *PVY* در مقایسه با شاهد تولید می شود. همچنین در این آزمون از توتونهای غیر تاریخت نیز به عنوان شاهد استفاده شد. نمونه توتون غیر تاریخت هیچگونه باندی را نشان ندادند (شکل ۵).

کم نسخه های mRNA از ژن *RDR1* در مقایسه با توتون غیر تاریخت از حساسیت بیشتری نسبت به آلدگی ویروس PVY⁰ برخودار بودند و توان تهاجمی ویروس مذکور در نسل سوم نسبت به دوم کاهش پیدا کرده بود (شکل‌های ۲ و ۴). به طوری که توتون لاین-1 R-5-1 در دارای نسخه های بسیار کم mRNA از ژن *RDR1* در سلولها بود میزان بیشتری از پروتئین پوششی ویروس PVY⁰ را در مقایسه با توتونهای غیر تاریخت در خود تکثیر نمود (شکل ۴). این نتایج نشان می دهد که حضور بیشتر نسخه های mRNA از ژن *RDR1* در سیتوپلاسم سلول احتمالاً می تواند موجب کنترل بیشتر آلدگی سیستمیک ویروس PVY⁰ در توتون (*N. tabaccum* cv Samsun,NN ژنهای *RDR1* و *RDR6* در دفاع پایه و ذاتی گیاهان بر علیه عوامل ویروسی ثابت شده بود (۲۱ و ۲۲ و ۲۳). با وجود بررسی نقش ژن *RDR1* در افزایش توان مقاومت گیاهان توتون و آربیدوپسیس نسبت به آلدگیهای ویروسی در گذشته (۲۴، ۲۹، ۳۰، ۳۱ و ۳۲) تا کنون گزارشی از نقش ژن *RDR1* در مقاومت بر علیه آلدگی سیستمیک ویروس PVY⁰ وجود ندارد. همچنین نتایج این بررسی نشان داد که بیان ژنهای مسئول ایجاد مقاومت در برابر آلدگیهای ویروسی مانند *AOXI*, *ERF5* و *IVR* به موازات کاهش بیان ژن *RDR1* و افزایش حساسیت در توتونهای تاریخته کاهش پیدا می کنند (شکل ۶). کاهش فاکتورهای مقاومت در لاین های تاریخته می تواند به دلیل نقش تنظیمی مثبت آنزیم RDR-1 در بیان آنها باشد (۲۱). بنابراین این احتمال وجود دارد که نقش ژن *RDR1* در دفاع پایه میزبان در برابر آلدگیهای پاتوزنیک تنها از طریق کمک به فرآیند خاموشی ژن نبوده و این آنزیم موجب تشدید سیگنال و انتقال مولکولهای پیامبر درون سلولی و عوامل دفاعی در میزبان گردد (۲۱ و ۲۲). به تازگی چنین نقشی برای دفاع توتون در برابر حمله حشرات به اثبات رسیده است (۷ و ۱۰). آنزیم *RDR1* توتون (*N.attenuate*) در بیان متابولیت های

۳ روز بعد از مایه زنی با ویروس TMV در توتون غیر تاریخت با استفاده از RT-PCR نیمه کمی با ۴۰ تا ۴۵ PCR ارزیابی شد. اندازه تولیدات حاصل از تکثیر ژنهای *IVR*, *RDR6* و *Myb* بر روی ژل آکارز ۲/۵ درصد مطابق با اندازه های اشاره شده در (جدول ۳) برای هر ژن بود. نتایج نشان داد میزان نسخه های mRNA ژنهای (Inhibitor of virus *IVR* (RNA-Directed RNA Polymerase- replication) و نیز- *ERF5*) با کاهش میزان نسخه های ژن *RDR6* در توتونهای تاریخت کاهش یافته است (شکل ۶). میزان (Ethylene response *AOXI* و *ERF5*) در توتونهای سالم و آلدود یک هفته بعد از مایه زنی با هر یک از ویروسهای TMV و PVY⁰ ارزیابی شد. میزان نسخه های mRNA ژنهای دخیل در مقاومت میزبان (*ERF5* و *AOXI*) با کاهش نسخه های mRNA ژن *RDR1* در توتونهای تاریخت کاهش یافت (شکل ۷).

بحث

در این تحقیق از نسلهای ۲ و ۳ توتونهای تاریخت استفاده شد به این دلیل که کاهش عملکرد خاموشی ساختارهای ساقه و حلقه از نسل دوم به سوم بیشتر از آن چیزی بود که از نسل اول به دوم مشاهده می شد. پژوهش‌های گذشته بر روی لاین های متعلق به نسل اول توتونهای تاریختی که در این تحقیق از آنها استفاده شد، نشان داده بود که ساختارهای ساقه - حلقه مورد استفاده با توان بسیار بالایی موجب خاموشی ژن *RDR1* توتونهای تاریخت در نسل اول می شوند (۲۲). از این رو از نسلهای دوم و سوم توتونهای مذکور برای این بررسی استفاده شد تا کارآیی ساختارهای ساقه و حلقه در خاموشی ژن در نسلهای بعدی مورد بررسی قرار گیرد. نتایج آزمونهای Sq-RT-PCR پروتئین پوششی ویروس PVY⁰ و نیز ژن *RDR1* در توتونهای مورد بررسی حکایت از آن داشت که لاین های تاریخت دارای تعداد

کاهش تولید siRNA و در نتیجه کاهش متیلاسیون DNA در هسته و افزایش عمومی بیان ژنها و کاهش میزان تکثیر ویروس در لاین‌های توتون نسل سوم شده باشد (شکل‌های ۶ و ۷). از طرفی دیگر تحریک فرآیند خاموشی RNA در میزان می‌تواند موجب متیله شدن پروموتر 35S RNA یا ناحیه‌ای از توالی RNA در ساختمان ناقل بیان شونده شده باشد که در این صورت از طریق بیان نسخه‌های کم ساختارهای ساقه-حلقه راندمان ایجاد خاموشی RNA نیز می‌توانسته کاهش یابد. از طرفی نتایج پژوهش‌های گذشته توسط وایستیث و جونز نشان داد که ژن *RDR6* می‌تواند در انتقال قطعات کوچک siRNA در طول گیاه نقش داشته باشد و از این طریق موجب افزایش کارآبی دفاع خاموشی ژن بر علیه عوامل ویروسی می‌شود (۲۵). همچنین توسط گروه همکاران نیز اثبات شده است که بیان ژن *RDR6* متأثر از بیان ژن *RDR1* در سلول می‌باشد (۲۱). در این پژوهش نیز مشاهده شد که با کاهش بیان ژن *RDR1* بیان ژن *RDR6* نیز در نسل دوم توتونهای مورد بررسی کاهش می‌یابد (شکل‌های ۲ و ۶). این احتمال وجود دارد که کاهش میزان خاموشی ژن *RDR1* توسط ساختارهای ساقه-حلقه موجب افزایش بیان ژن *RDR6* و افزایش مقاومت به آلوگی ویروسی در نسل سوم توتونهای مورد بررسی شده باشد. لازم به ذکر می‌باشد که نتایج این پژوهش بصورت پایه کارآبی ساختارهای ساقه-حلقه را در نسلهای مختلف توتونهای تاریخت مورد بررسی قرار داد و فاکتورهای ژنی مورد ارزیابی از نظر میزان حضور آنها در سیتوپلاسم بررسی شدند. توصیه می‌شود mRNA تا برای به دست آوردن نتایج دقیق تر در تحقیقات تكمیلی میزان بیان ژنهای مورد بررسی در این پژوهش بصورت کمی از سطح هسته تا سیتوپلاسم مورد بررسی قرار گیرد و حضور نسخه‌های خاموش کننده در لاین‌ها و نسلهای مختلف از لحاظ فرکانس انتقال با روش‌های جدید مولکولی مورد بررسی قرار گیرد. همچنین از آنجا که امروزه از این ساختارها برای تولید گیاهان تاریخت گوناگون در

ثانویه و ترکیبات آروماتیک دافع حشرات نقش دارد (۱۷ و ۱۹). نتایج این بررسی نشان داد که میزان خاموشی ژن *RDR1* در نسل سوم در مقایسه با نسل قبل از آن کاهش پیدا کرده است (شکل ۳). همچنین نشان داده شد که میزان قطعات کوچک siRNA به طول ۲۱-۲۴ نوكلئوتید در لاین‌های تاریخت ۱-۱ R-14-۱ و ۱-۱ R-14-۱ کاهش پیدا کرده است (شکل ۵). داده‌های حاصل از بررسی فاکتورهای مقاومت نیز نشان داده است که بیان این فاکتورها در نسل سوم در مقایسه با نسل دوم افزایش پیدا کرده است (شکل ۶). در گذشته اثبات شده بود کارآبی ساختار ساقه-حلقه در تنظیم منفی بیان ژن هدف به زیگوستی (Zygosity) لوکوس القاء کننده خاموشی و همچنین لوکوس ژن هدف بستگی دارد (۴، ۱۴ و ۱۵). نتایج این تحقیق نیز نشان داد که نسلهای مختلف از لحاظ بیان ساختارهای خاموش کننده و میزان خاموشی متفاوت می‌باشند (شکل ۵). که این امر می‌تواند به دلیل تفاوت زیگوستی در نسلهای مختلف لاین‌های توتون تاریخت باشد. از طرفی نتایج بررسیهای قبل مشخص ساخت که کارآبی ساختارهای ساقه و حلقه در خاموشی ژن با توجه به تفاوت در میزان بیان ژن هدف می‌تواند تغییر کند (۱۱). این احتمال نیز وجود دارد که در نسل دوم توتونهای تاریخت، عملکرد بالای ساختارهای ساقه-حلقه در تحریک فرآیند خاموشی (PTGS) ژن پس از رونوشت برداری در سیتوپلاسم (TGS) موجب القاء فرآیند خاموشی ژن در سطح رونوشت برداری (TGS) و متیله شدن DNA در هسته شده باشد و در نتیجه موجب کاهش میزان بیان عمومی ژنهای گیاه از جمله ژنهای ارزیابی شده در این تحقیق باشد و از این طریق دفاع پایه گیاه به آلوگی ویروسی کاهش پیدا کرده است (شکل ۴). از طرفی این امکان نیز وجود دارد که کاهش کارآبی ساختارهای ساقه-حلقه در القاء فرآیند خاموشی ژن احتمالاً به دلیل انتقال کم نسخه‌های خاموش کننده ژن هدف به نسل سوم باشد که موجب کاهش خاموشی ژن و

زحمات دکتر Canto Tomas و خانم دکتر Bung Num محققین مرکز تحقیقات زراعی اسکاتلند قدردانی و تشکر می‌شود. همچنین از آقای دکتر Minuru Takeshi مدیر گروه تحقیقات مولکولی دانشگاه توکیو ژاپن و نیز پروفسور Jun Peter Carr مدیر گروه بیوتکنولوژی دانشگاه کمبریج، به خاطر همکاری ایشان با این تحقیق قدردانی و تشکر می‌شود.

بیوتکنولوژی استفاده می‌شود بنابراین توصیه می‌شود که میزان پایداری انتقال و نیز کارآیی خاموشی ژنها از طریق چنین ساختارهایی در سیستمهای مختلف گیاهی مورد ارزیابی دقیق‌تر قرار گیرد.

تشکر و قدردانی

از کمکها و راهنماییهای خانم دکتر Julie Squires محقق بخش تحقیقات ویروس‌شناسی مرکز تحقیقات زراعی اسکاتلند (SCRI) صمیمانه تشکر و قدردانی می‌شود. از

منابع

1. Agrawal, N., Dasaradhi, P. V. N., Mohammed, A., Malhotra, P., Bhatnagar, R. K., and Mukherjee, S. K. 2003. RNA interference: biology, mechanism, and applications. *Microbiol. Mol. Biol. Rev.* 67: 657-685.
2. Baulcombe, D. 2004. RNA silencing in plants. *Nature* 431: 356-363.
3. Baulcombe, D. 2005. RNA silencing. *Trends Biochem. Sci.* 30: 290-293.
4. Bleys, A., Vermeersch, L., Van Houdt, H., and Depicker, A. 2006. The frequency and efficiency of endogene suppression by transitive silencing signals is influenced by the length of sequence homology. *Plant Physiology* 142: 788-796.
5. Canto, T., Cillo, F., and Palukaitis, P. 2002. Generation of siRNAs by T-DNA sequences does not require active transcription or homology to sequences in the plant. *Mol. Plant-Microbe Interact.* 15:1137-1146.
6. Clough, S. J. and Bent, A. F. 1998. Floral dip: a simplified method for Agrobacterium-mediated transformation of *Arabidopsis thaliana*. *Plant J.* 16: 735-743.
7. Horsch, R. B., Fry, J. E., Hoffman, N. L., Eichholz, D., Rogers, S. G., and Fraley, R. T. 1985. A simple and general method of transferring genes into plants. *Science* 279: 1486-1487.
8. Kerschen, A., Napoli, C. A., Jorgensen, R. A., and Muller, A. E. 2004. Effectiveness of RNA interference in transgenic plants. *FEBS Letters.* 566: 223-228.
9. Loebenstein, G., and Akad, F. 2006. The local lesion response. Pages 99-124 In: *Natural Resistance Mechanisms of Plants to Viruses*.
10. Lu, R., Martin-Hernandez, A. M., Peart, J. R., Malcuit, I., and Baulcombe, D. C. 2003. Virus-induced gene silencing in plants . *Methods* 30 : 296-303 .
11. Marjanac, G., Karimi, M., Naudts, M., Beeckman, T., Depicker, A., and De Buck, S. 2009. Gene silencing induced by hairpin or inverted repeated sense transgenes varies among promoters and cell types. *New Phytologist*. 184: 851-864.
12. Marone, M., Mozzetti, S., Ritis, D., Pierelli, L., and Scambia, G. 2001. Semiquantitative RT-PCR analysis to assess the expression levels of multiple transcripts from the same sample. *Biol. Proced. Online.* 3: 19-25.
13. Mayers, C. N., Lee, K. C., Moore, C. A., Wong, S. K., and Carr, J. P. 2005. Salicylic acid-induced resistance to *Cucumber mosaic virus* in squash and *Arabidopsis thaliana*: Contrasting mechanisms of induction and antiviral action. *Mol. Plant- Microbe Interact.* 18: 428-434.
14. Mittelsten Scheid, O., Afsar, K., and Paszkowski, J. 2003. Formation of stable epialleles and their paramutation-like interaction in tetraploid *Arabidopsis thaliana*. *Nat Genet.* 34: 450-454.
15. Mittelsten Scheid, O., Jakovleva, L., Afsar, K., Maluszynska, J., and Paszkowski, J. A. 1996. Change of ploidy can modify epigenetic silencing. *Proc. Natl. Acad. Sci.* 93: 7114-7119.
16. Palukaitis, P., and Carr, J. P. 2008. Plant resistance to viruses. *J. Plant Pathol.* 90: 153-171.
17. Pandey, S. P., Priyanka, P., Gase, K., and Baldwin, I.T. 2008. Herbivory-induced changes

- in the small-RNA transcriptome and phytohormone signaling in *Nicotiana attenuata*. Proc. Natl. Acad. Sci. 105: 4559-4564.
18. Pandey, S. P., and Baldwin, I. T. 2007. RNA-directed RNA polymerase 1 (*RDR1*) mediates the resistance of *Nicotiana attenuata* to herbivore attack in nature. Plant J. 50:40-53.
19. Pandey, S. P., Gaquerel, E., Gase, K., and Baldwin, I. T. 2008. *RNA-directed RNA Polymerase3* from *Nicotiana attenuata* is required for competitive growth in natural environments. Plant Physiol. 147: 1212-1224.
20. Peart, J. R., Cook, G., Feys, B. J., Parker, J. E., and Baulcombe, D. C. 2002. Implication of SDE-1 gene in plant resistance to viruses. Plant J. 29: 569-579.
21. Qu, F., Ye, X., Hou, G., Sato, S., Clemente, T. E., and Morris, T. J. 2005. RDR6 has a broad-spectrum but temperature-dependent antiviral defense role in *Nicotiana benthamiana*. J. Virol. 79: 15209-15217.
22. Rakhsandehroo, F., Takeshita, M., Squires, J., and Palukaitis, P. 2009. The influence of RNA-dependent RNA polymerase 1 on potato virus Y infection and on other antiviral response genes. Mol. Plant-Microbe Interact. 22: 1312-1318.
23. Ribeiro, S.G., Lohuis, H., Goldbach, R., and Prins, M. 2007. Tomato chlorotic mottle virus is a target of RNA silencing but the presence of specific short interfering RNAs does not guarantee resistance in transgenic plants. J. Virol. 81: 1563-1573.
24. Schwach, F., Vaistij, F. E., Jones, L., and Baulcombe, D. C. 2005. An RNA-dependent RNA polymerase prevents meristem invasion by potato virus X and is required for the activity but not the production of a systemic silencing signal. Plant Physiol. 138: 1842-1852.
25. Vaistij, F. E., and Jones, L. 2009. Compromised Virus-Induced Gene Silencing in RDR6-Deficient Plants. Plant Physiology. 149: 1399-1407.
26. Vanitharani, R., Chellappan, P., and Fauquet, C. M. 2003. Short interfering RNA-mediated interference of gene expression and viral DNA accumulation in cultured plant cells. Proc. Natl. Acad. Sci. U.S.A. 100: 9632-9636.
27. Wassenegger, M., and Krczal, G. 2006. Nomenclature and functions of RNA-directed RNA polymerases. Trends Plant Sci. 11: 142-151.
28. Waterhouse, P. M., Graham, M. W., and Wang, M. B. 1998. Virus resistance and gene silencing in plants can be induced by simultaneous expression of sense and antisense RNA. Proc. Natl. Acad. Sci. 95: 13959-13964.
29. Xie, Z., Fan, B., Chen, C., and Chen, Z. 2001. An important role of an inducible RNA-dependent RNA polymerase in plant antiviral defense. Proc. Natl. Acad. Sci. 98: 6516-6521.
30. Yang, S. J., Carter, S. A., Cole, A. B., Cheng, N. H., and Nelson, R. S. 2004. A natural variant of a host RNA-dependent RNA polymerase is associated with increased susceptibility to viruses by *Nicotiana benthamiana*. Proc. Natl. Acad. Sci. U.S.A. 101: 6297-6302.
31. Ying, X. B., Dong, L., Zhu, h., Duan, C. G., Du, Q. S., Lv, D. Q., Fang, Y. Y., Garcia, J.A., Xiang Fang, R., and Guo, H. S. 2010. RNA-Dependent RNA Polymerase 1 from *Nicotiana tabacum* Suppresses RNA Silencing and Enhances Viral Infection in *Nicotiana benthamiana*. The plant cell. 17: 2-15.
32. Yu, D., Fan, B., MacFarlane, S. A., and Chen, Z. 2003. Analysis of the involvement of an inducible *Arabidopsis* RNA-dependent RNA polymerase in antiviral defense. Mol. Plant-Microbe Interact. 16: 206-216.

The instability of the inhibition of the expression of genes involved in resistance to virus infection in transgenic plants using hairpin constructs

Rakhshandehroo F.^{1,2}, Palukaitis P.² and Shams-Bakhsh M.^{2,3}.

¹ Plant Pathology Dept., College of Agriculture and Natural Resources, Science and Research Branch, Islamic Azad University, Tehran, I.R. of Iran

² Scottish Crop Research Institute, Invergowrie, Dundee DD2 5DA, UK

³ Plant Pathology Dept., Faculty of Agriculture, Tarbiat Modares University, Tehran, I.R. of Iran

Abstract

Transgenic expression of hairpins can induce RNA silencing pathways by means of dsRNA with sequence homology to a plant mRNA. Using transgenic tobacco plants (*N. tabacum* cv. Samsun NN) in which the *RDR1* gene was silenced to different extents by a hairpin structure homologous to the tobacco *RDR1* gene, we evaluated the stability of gene silencing, by analyzing the *RDR1* gene expression levels and the plant susceptibility to systemic infection by PVY[°]. The second (T2) and third (T3) generations of *RDR1* silenced transgenic lines were tested by semi-quantitative RT-PCR to evaluate the expression levels of defense-related genes including *IVR*, *ERF5*, *AOX1*, and *RDR6*, one week after PVY[°] infection. The results showed that T2 transgenic tobacco lines transcribed the *RDR1* and the other defense-related genes to a lower level than the corresponding T3 transgenic lines. The T2 lines were more susceptible to PVY[°] infection than the T3 lines and the *RDR1* gene was expressed to the same level in the T3 lines as in non-transformed tobacco. The efficiency of hairpin structure-mediated silencing of the *RDR1* gene decreased through different generations. As the *RDR1*-regulated *RDR6* is required for the spreading of silencing throughout the plant, we propose that suppressing *RDR1* leads to inhibition of *RDR6*, which then leads to loss of silencing by the *RDR1* hairpin transgene after vertical gene transmission.

Keywords : RNA silencing, stem-loop structure, (*RDR1*), PVY[°]